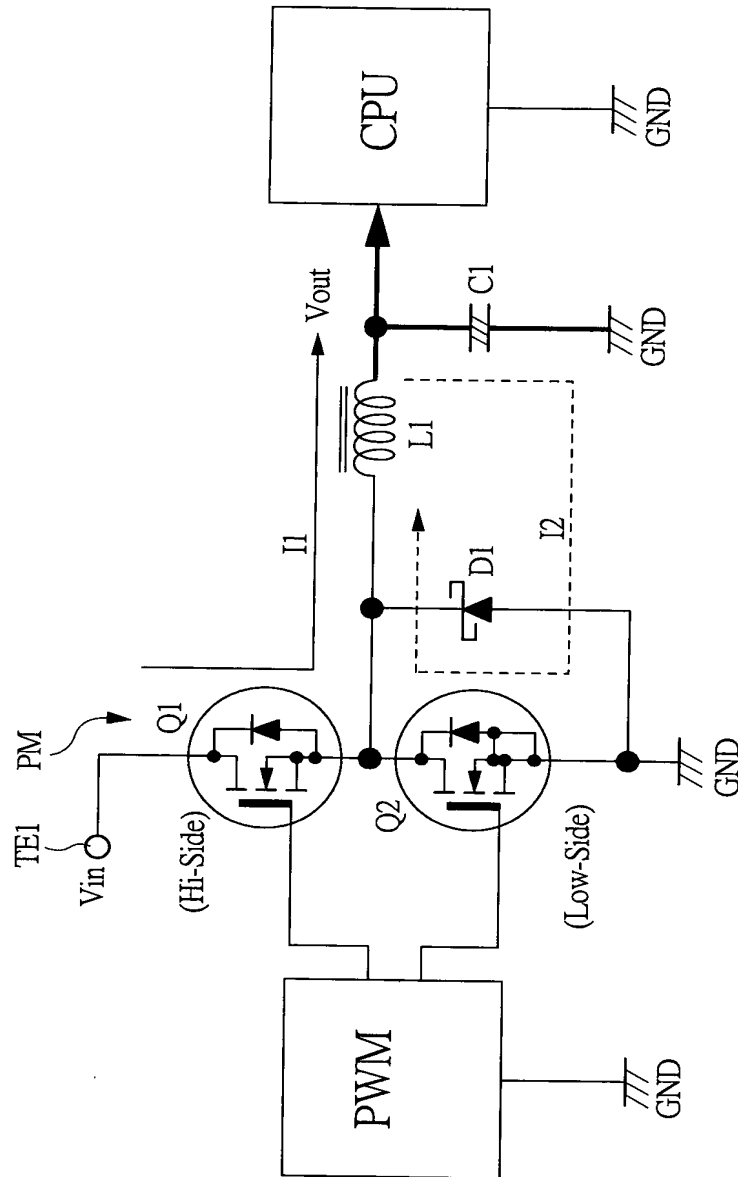


20250719 19:29:40

Fig. 1



204621-01602

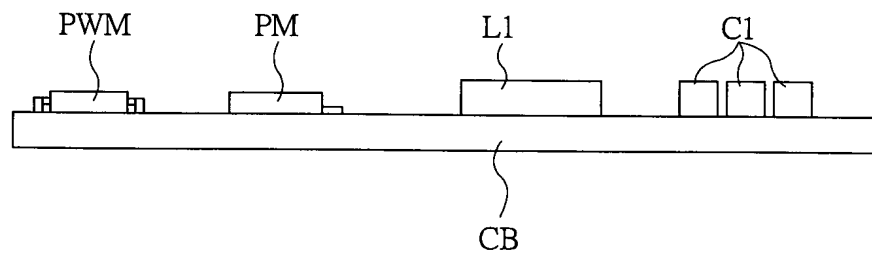
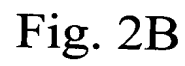


Fig. 3A

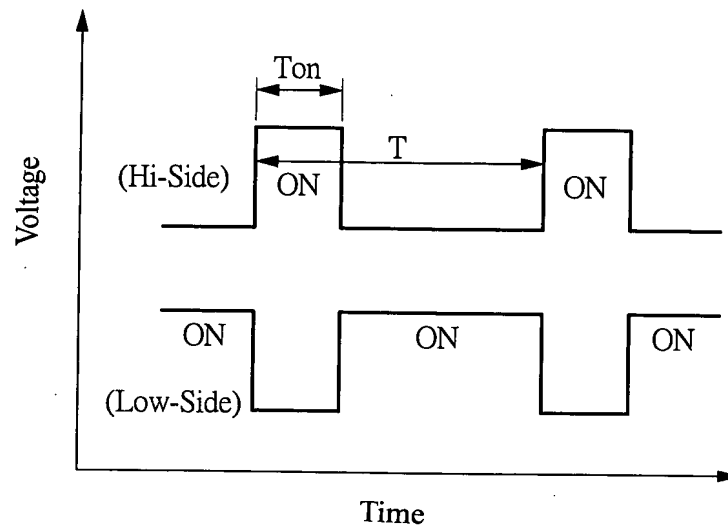


Fig. 3B

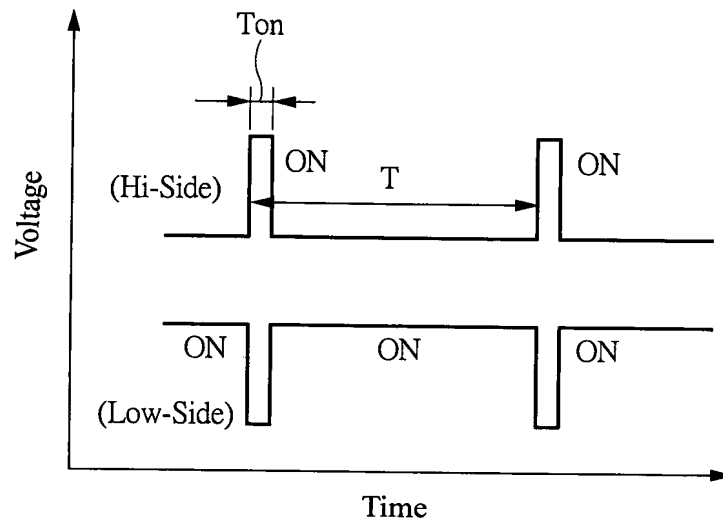


Fig. 4

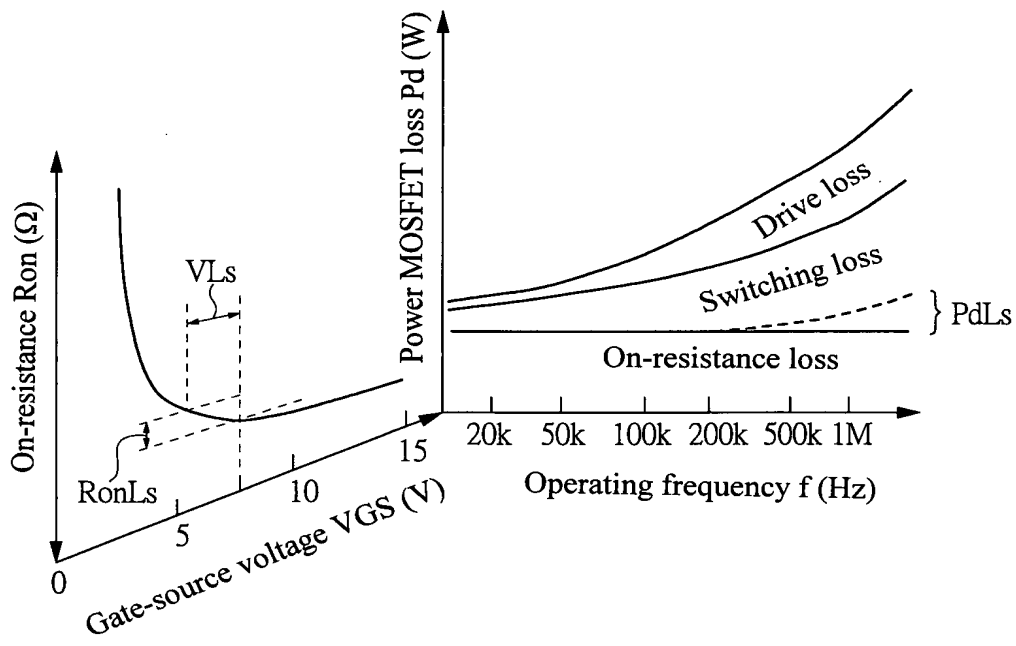


Fig. 5

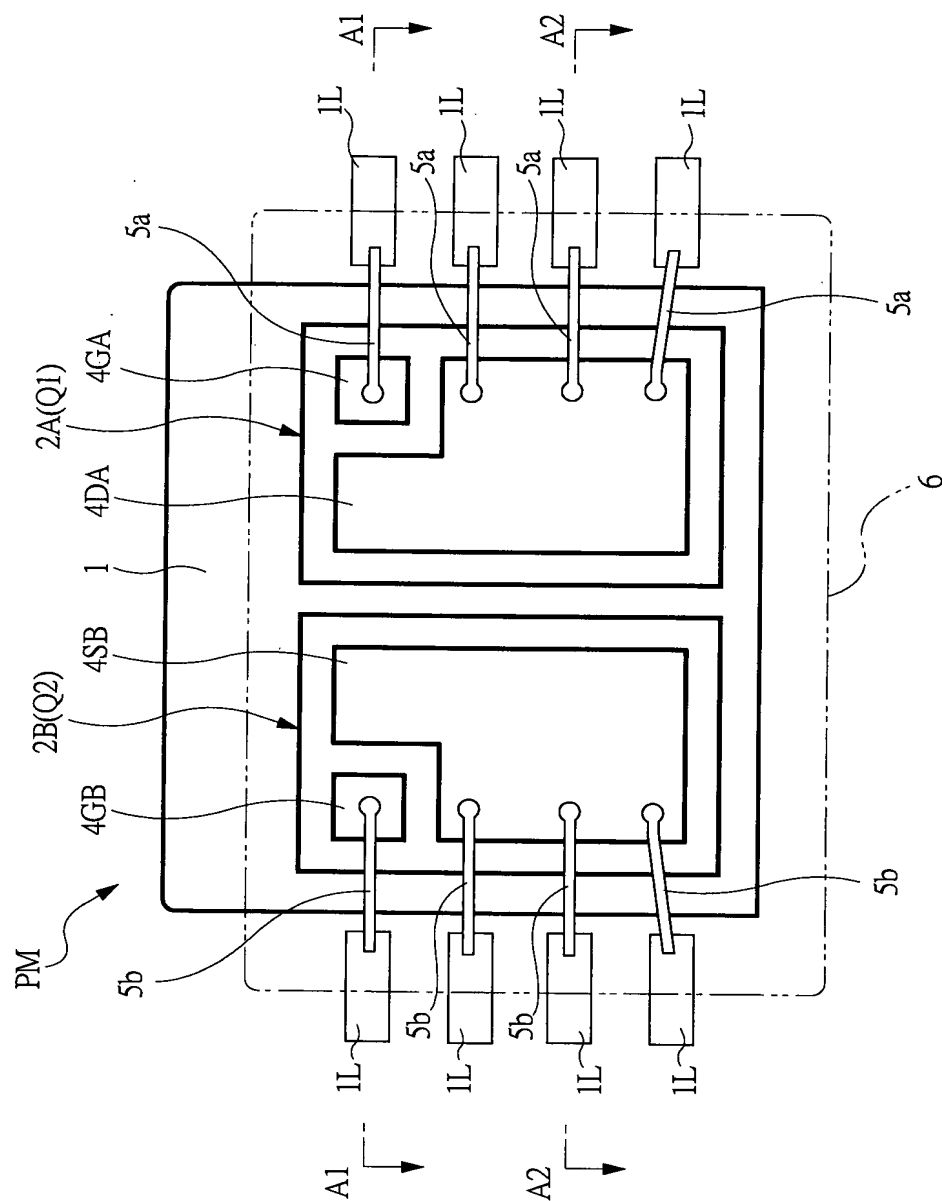


Fig. 6A

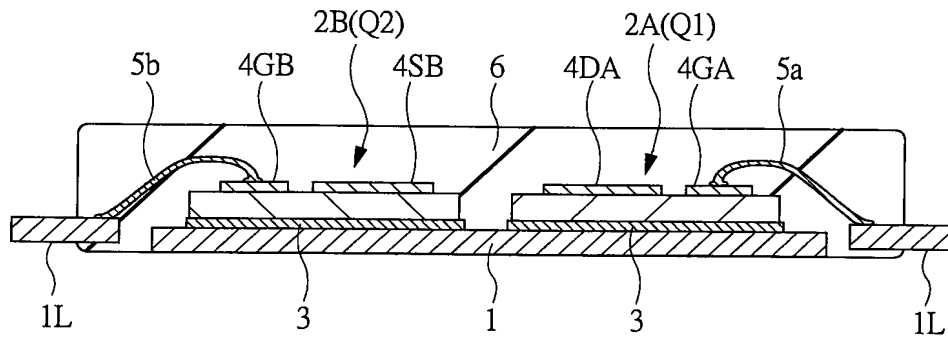


Fig. 6B

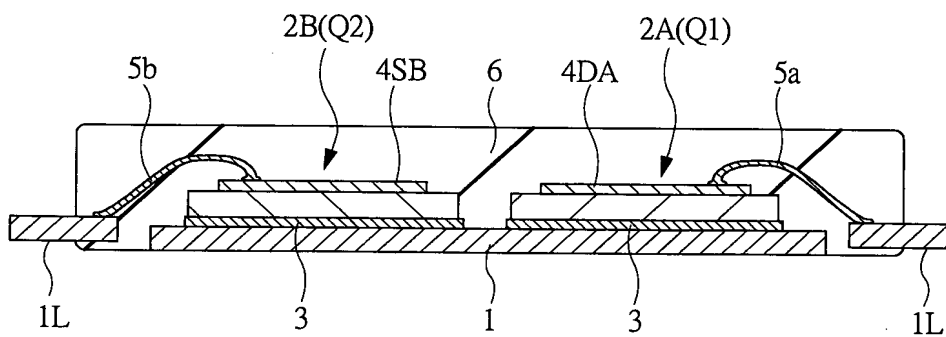
209TTO" T929400T  
10046251.011602

Fig. 7

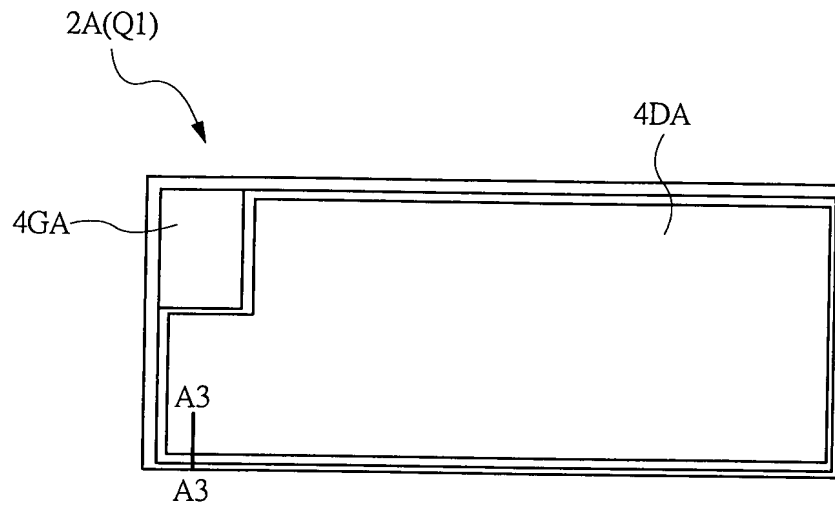
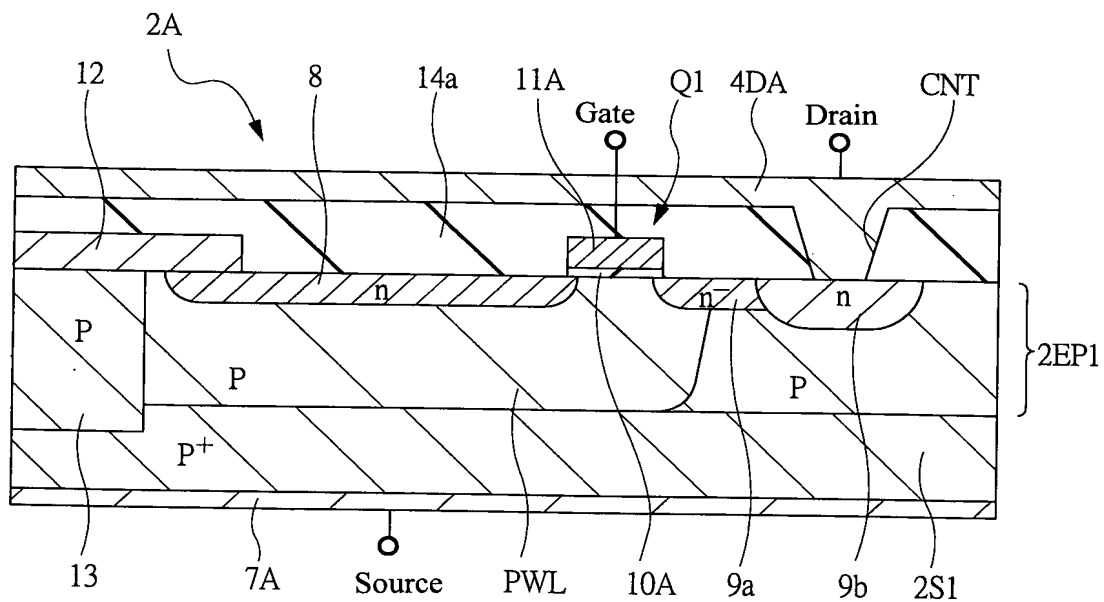
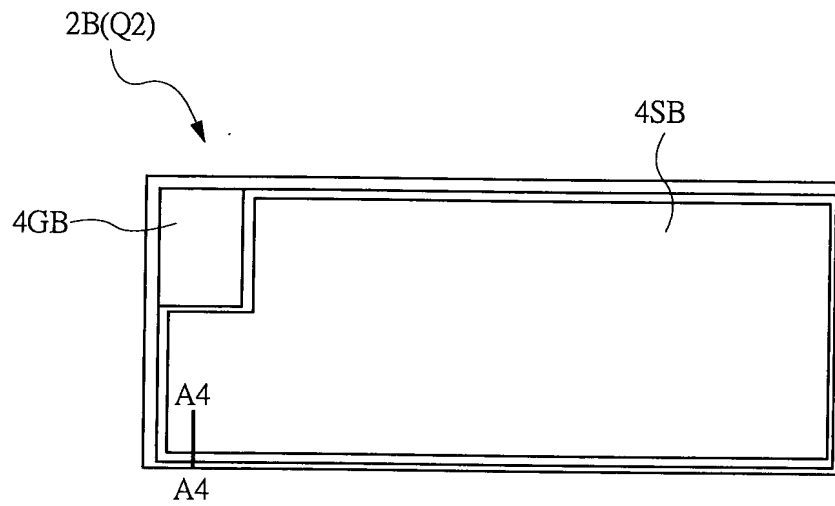


Fig. 8



10046361 011602

Fig. 9

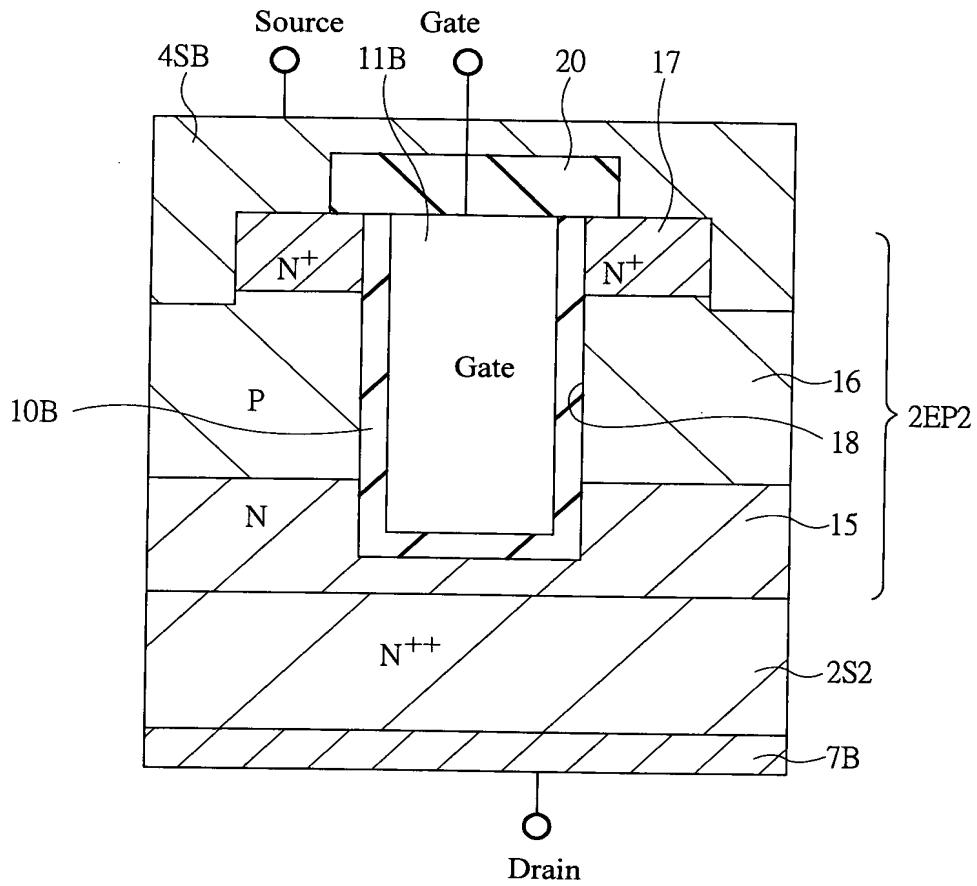


10046261.011602





Fig. 11



10046261.011602

Fig. 12A

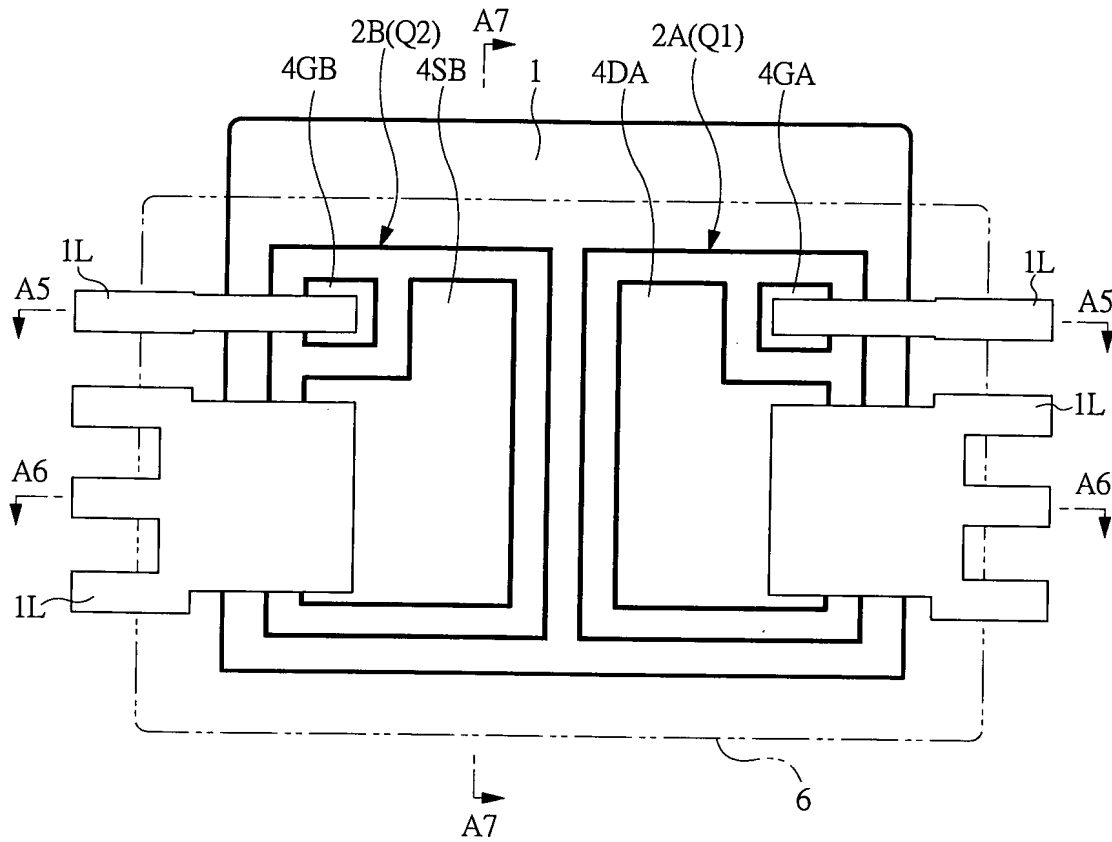
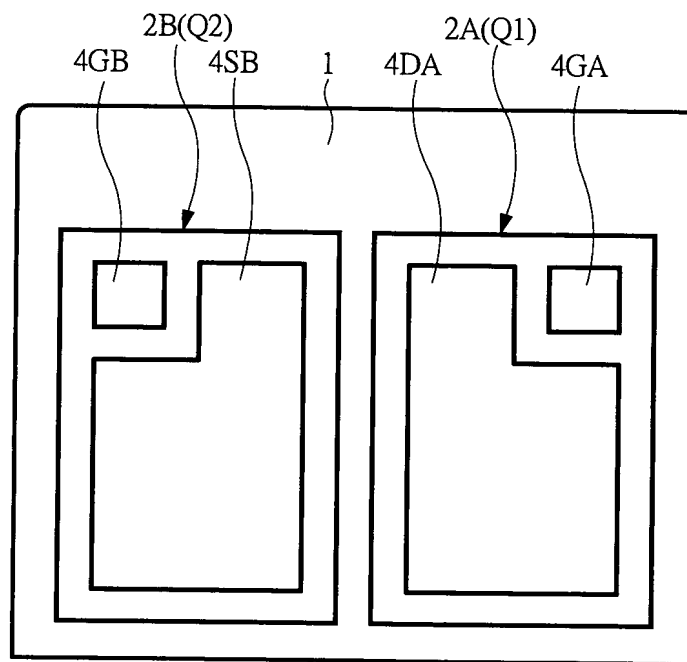


Fig. 12B



10046261.011602

Fig. 13A

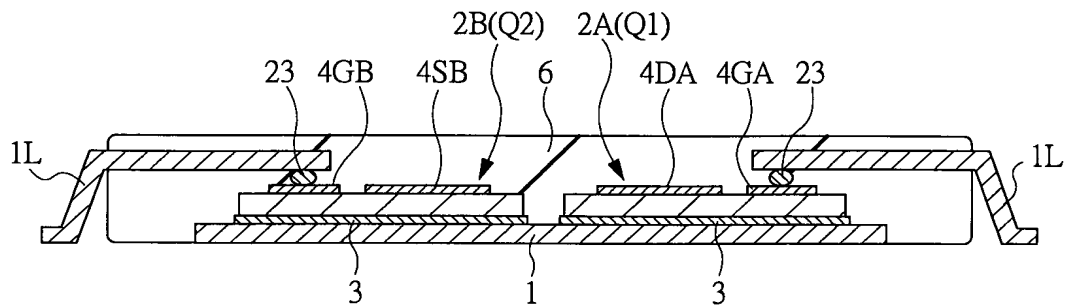


Fig. 13B

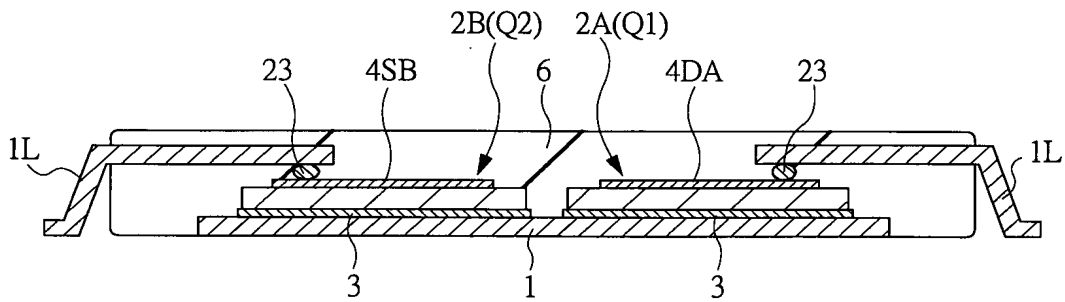


Fig. 13C

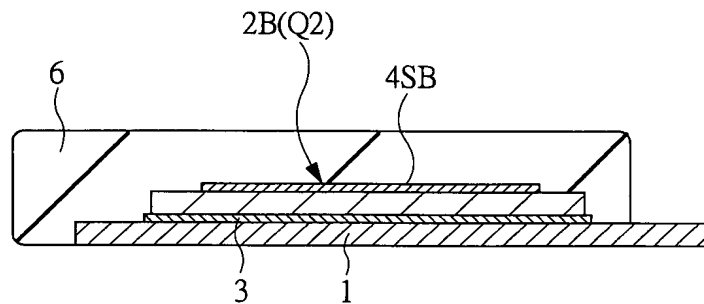


Fig. 14A

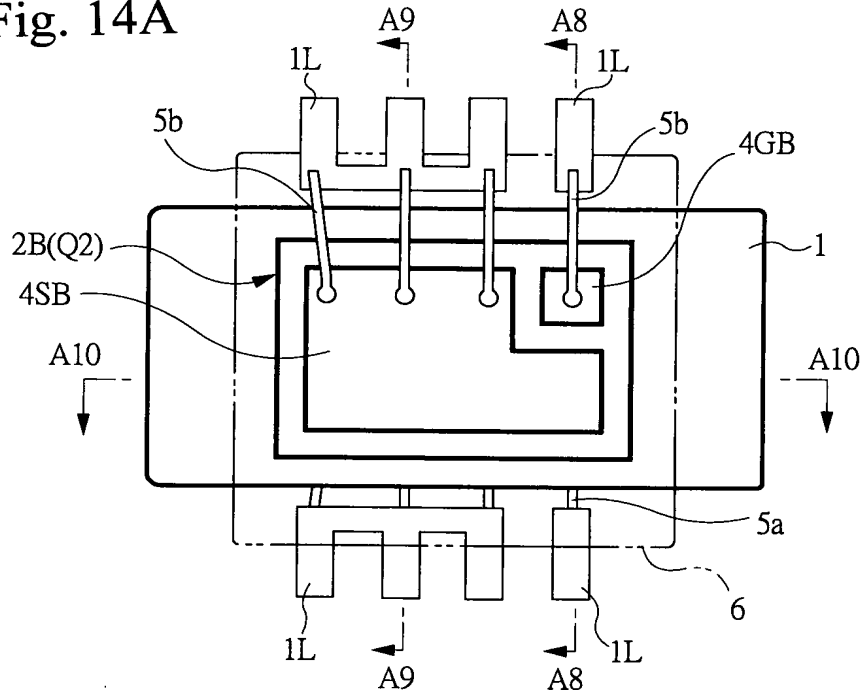


Fig. 14B

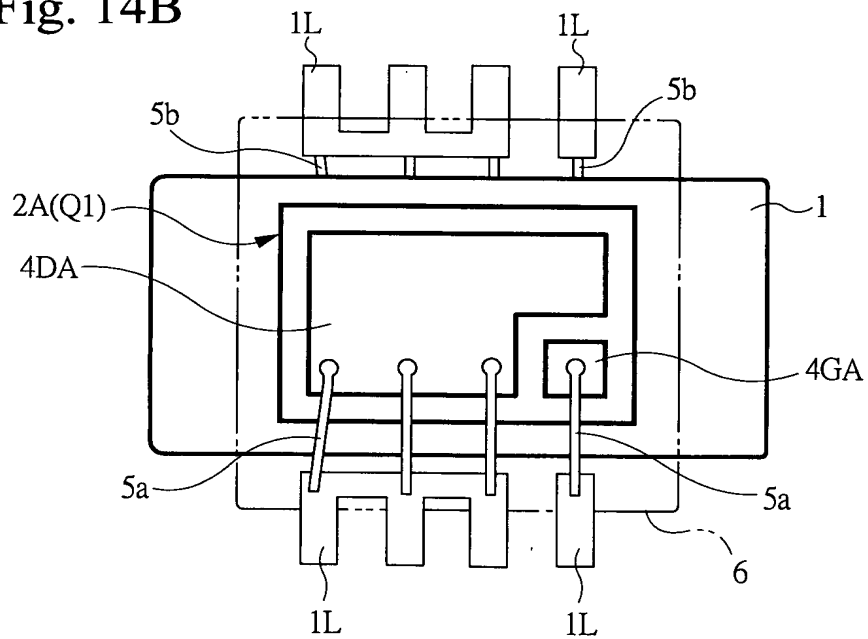


Fig. 15A

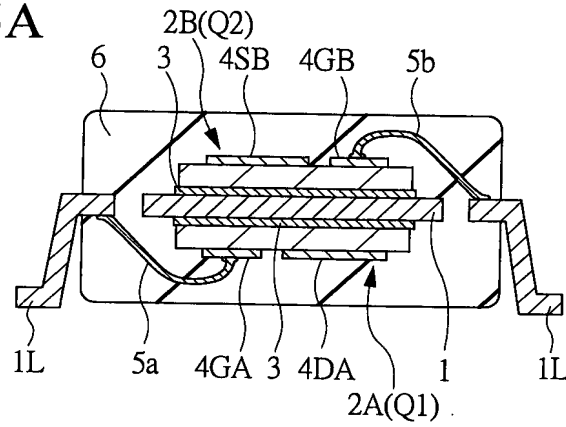


Fig. 15B

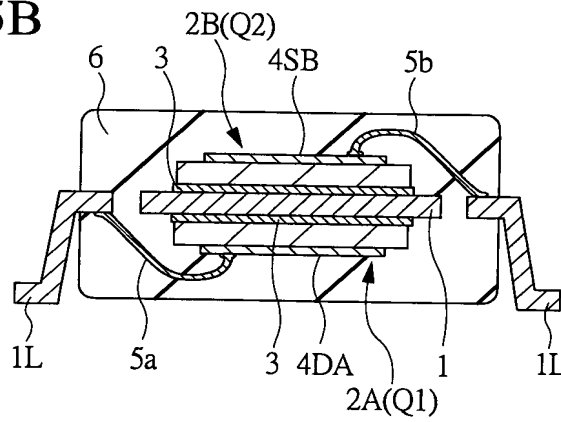


Fig. 15C

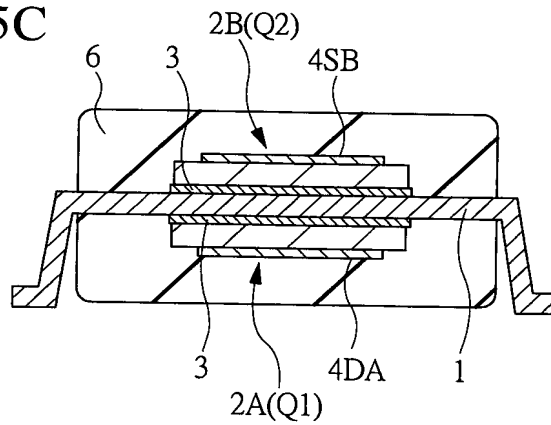


Fig. 16A

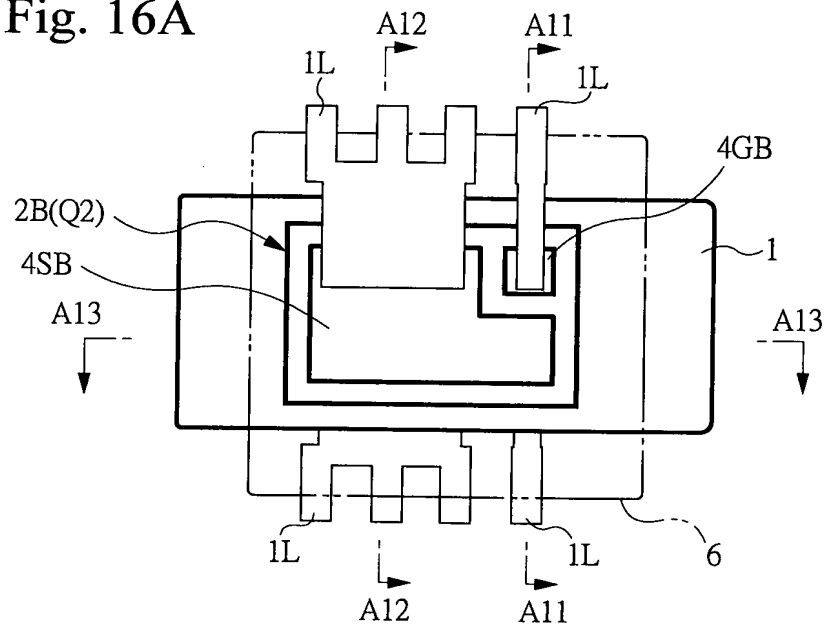
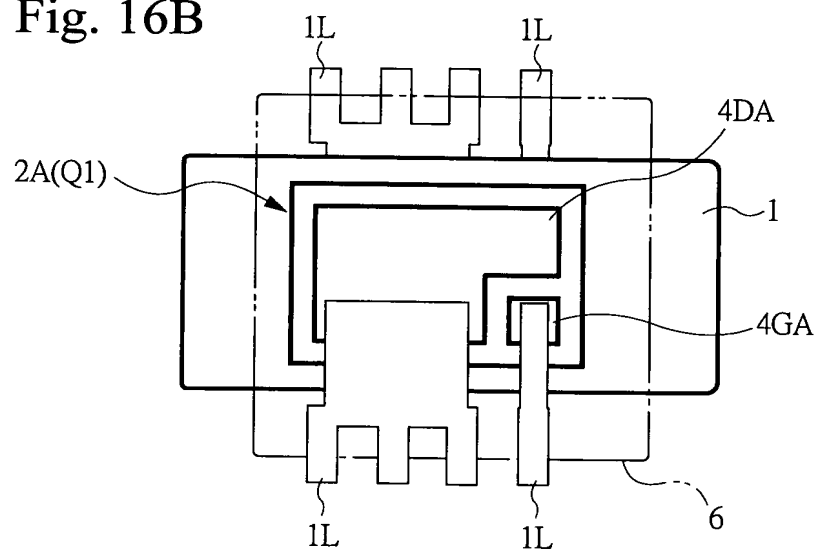


Fig. 16B



209T0" T929400T

Fig. 17A

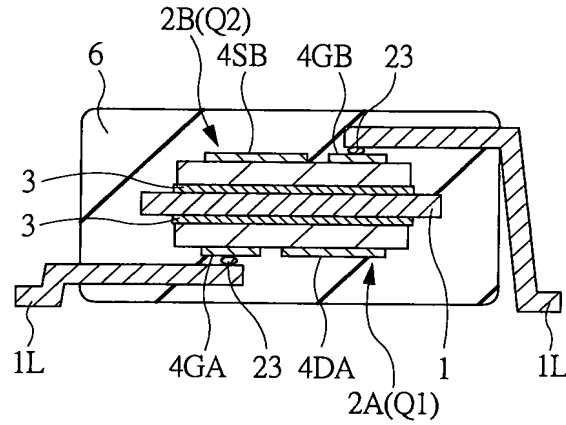


Fig. 17B

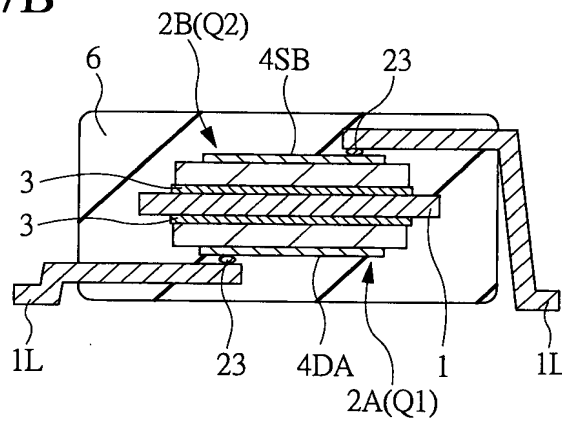


Fig. 17C

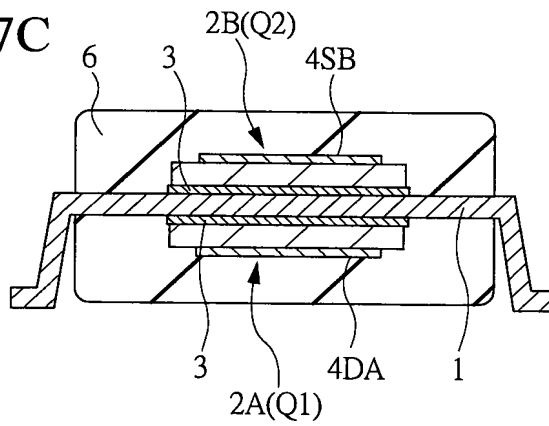




Fig. 18A

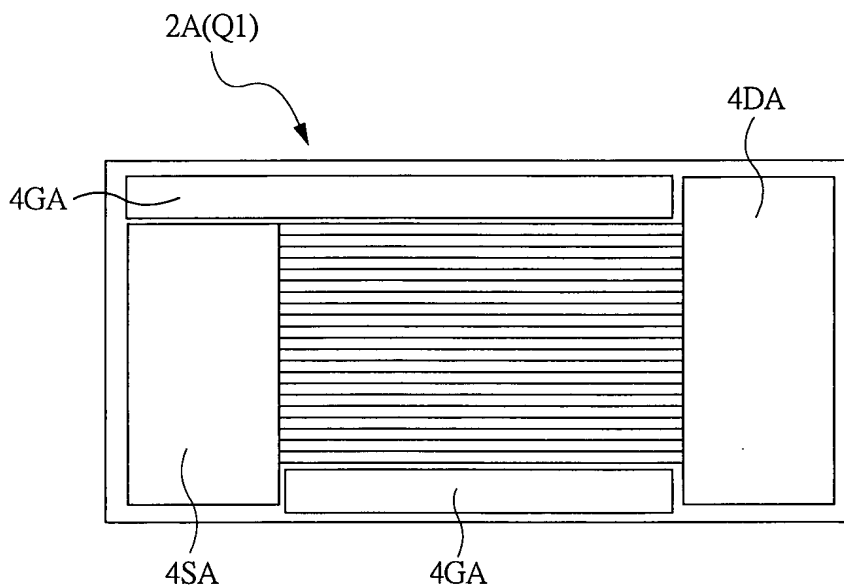
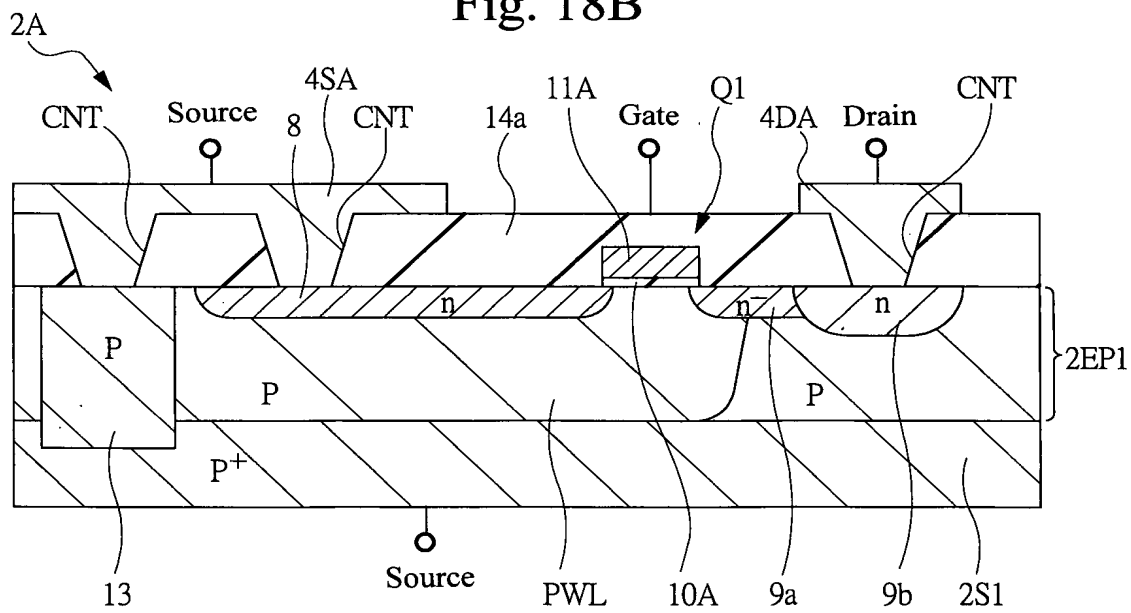
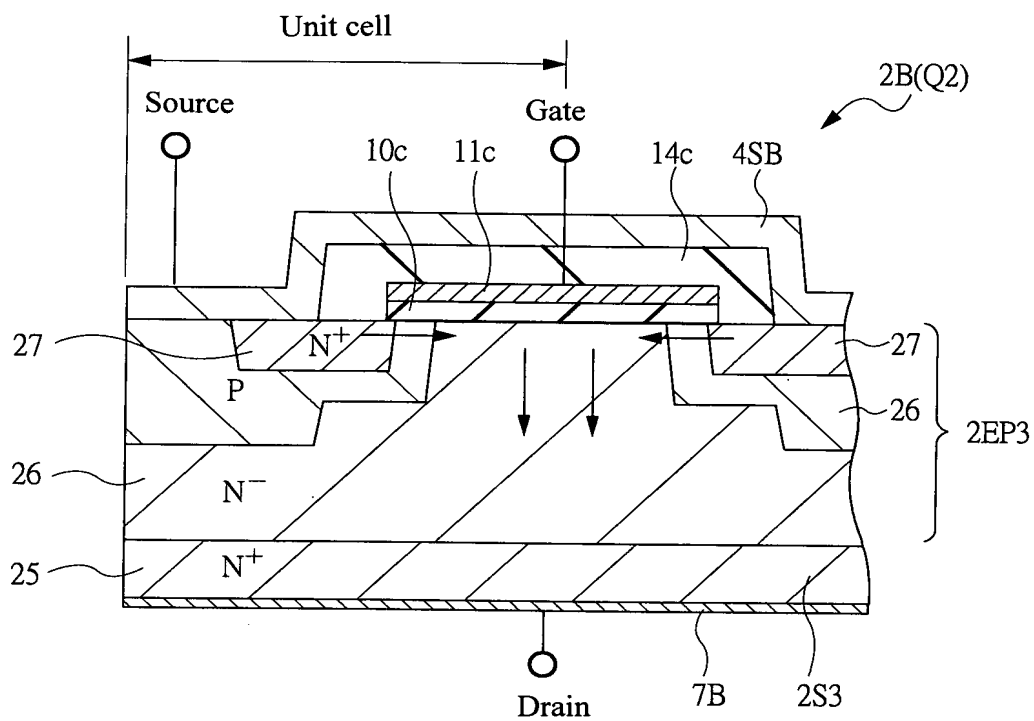


Fig. 18B



1004651 0160

Fig. 19



10046261.011602

Fig. 20

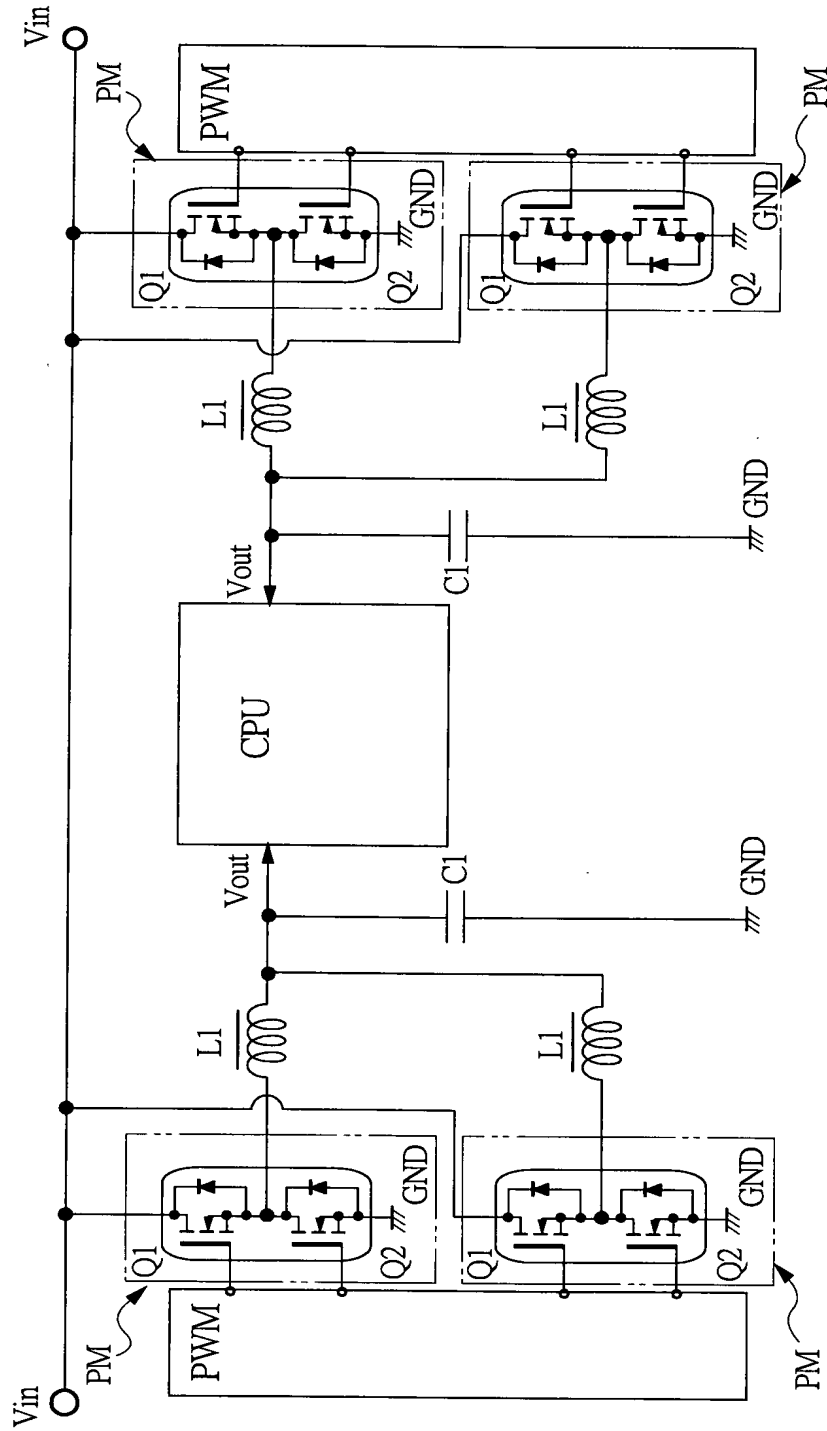


Fig. 21

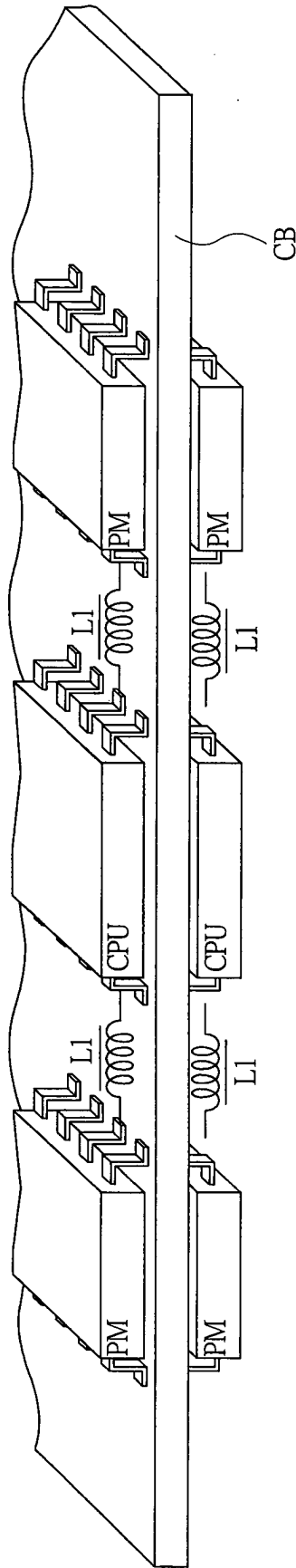


Fig. 22A

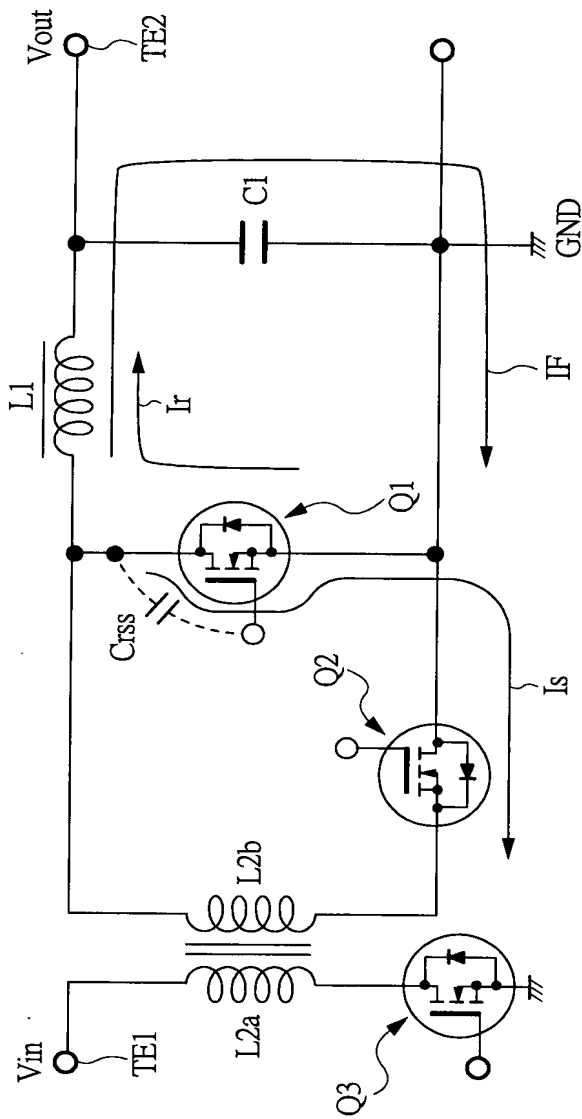


Fig. 22B

